

являются частным случаем асферических поверхностей первого типа. При выводе формул учитывалось правило знаков, принятое в вычислительной оптике [2].

Расчет выполняется по следующему алгоритму:

- 1) вычисляются  $z, l, M, M_x, M_y$  по формулам (2) и (3);
- 2) определяется  $t$  по итерационным соотношениям (6), (7), если кривая задана формулой (5), или по уравнению (10), если поверхность имеет вид (9);
- 3) вычисляются координаты точки встречи луча по соотношению (4);
- 4) находится вектор нормали  $\tau$  по формулам (8), если поверхность 1-го типа (5), или по (11), если асфера 2-го типа (9);
- 5) по результатам пп. 1—4 и формулам (12)–(14) с помощью (15) определяется направление преломленного луча.

Алгоритм, приведенный в настоящей работе, был реализован в программе на ЕС 1033 и применен для расчета голограмм для оптических систем с асферическими поверхностями, количество которых менялось от 2 до 14. Если по известным до сих пор алгоритмам даже для простейших систем (голограмма для одиночной линзы) требовалось 4—5 ч машинного времени ЕС 1033 (или подобной) [3, 4], то для тех же расчетов по формулам настоящей работы нужно всего несколько минут.

## ЛИТЕРАТУРА

1. Feder D. P. Optical calculations with automatic computing machinery // JOSA.—1951.—V. 41, N 9.—P. 630—635.
2. Слюсарев Г. Г. Методы расчета оптических систем.—Л.: Машиностроение, 1969.
3. ОСТ 3-4731—80. Алгоритмы расчета синтезированной голограммы.
4. Canfield H. J., Mueller P., Dvore P., Epstein A. Computer holograms for optical testing // Proc. Photo-opt. Instrum. Eng.—1982.—P. 306.

Поступило в редакцию 16 июня 1986 г.

УДК 519.219

**А. Г. БУЙМОВ**

(Томск)

## ОБ ОПТИМАЛЬНОМ ШАГЕ ДИСКРЕТИЗАЦИИ

В работе [1] показано, что дисперсия  $\sigma^2$  ошибок совмещения изображений в отсутствие угловых и масштабных рассогласований приближенно соответствует формуле

$$\sigma^2 = \frac{\mu}{\Psi} \frac{l_0^4}{T^2} d(z), \quad (1)$$

где  $d(z) = 4z^2(1+2z)(1+z)^{-4}$ ,  $z = t_0/l_0$ ;  $T$  — сторона изображения;  $\Psi$  — дисперсия его яркости;  $l_0$  — дифференциальный радиус корреляции изображения;  $\mu$  — дисперсия аддитивного шума;  $t_0$  — его интегральный радиус корреляции. Эти результаты получены в предположении равенства радиусов корреляции по обеим осям декартовых координат, факторизуемости корреляционных функций по этим координатам и выполнения условий  $T \gg t_0, l_0$ .

При дискретизации изображения с шагом  $\Delta$  параметры  $l_0$  и  $t_0$  определяются по формулам [1]

$$l_0 = \Delta \sqrt{2/\Psi - \varphi(2\Delta)}; \quad (2)$$

$$t_0 = \frac{\Delta}{2} \sum_{k=-\frac{n-1}{2}}^{\frac{n-1}{2}} \left(1 - \frac{|k|}{n}\right) \rho(k\Delta), \quad (3)$$

где  $\varphi(\tau)$  и  $\rho(\tau)$  — функции корреляции изображения и шума;  $n = T/\Delta$ . Если исходное изображение и шум имеют радиусы корреляции  $\lambda_0 = 1/\sqrt{-\ddot{\varphi}(0)}$ ;  $\tau_0 = -\frac{1}{2} \int_{-\infty}^{+\infty} \rho(\tau) d\tau$ , то в соответствии с (2) и (3)

$$\begin{aligned} l_0 &\simeq \begin{cases} \lambda_0 & \text{при } \Delta \ll \lambda_0; \\ \Delta \sqrt{2} & \text{при } \Delta \gg \lambda_0; \end{cases} \\ t_0 &\simeq \begin{cases} \tau_0 & \text{при } \Delta \ll \tau_0; \\ \Delta/2 & \text{при } \Delta \gg \tau_0. \end{cases} \end{aligned}$$

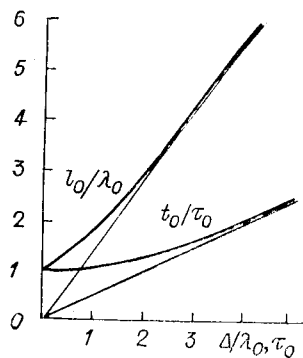


Рис. 1

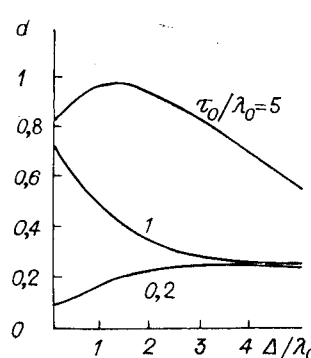


Рис. 2

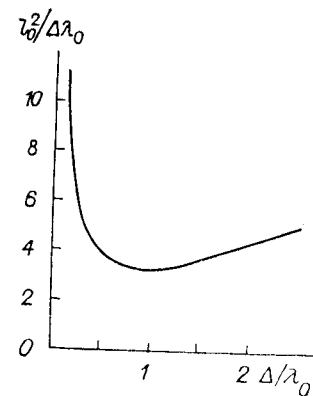


Рис. 3

В качестве примера на рис. 1 изображены зависимости

$$l_0 = \frac{\Delta \sqrt{2}}{\sqrt{1 - \left(1 + \frac{2\Delta}{\lambda_0}\right) e^{-2\Delta/\lambda_0}}}, \quad t_0 = \frac{\Delta}{2} \frac{1 + e^{-\Delta/\tau_0}}{1 - e^{-\Delta/\tau_0}}, \quad (4)$$

полученные при условиях  $\varphi(\tau) = (1 + |\tau|/\lambda_0) e^{-|\tau|/\lambda_0}$ ,  $\rho(\tau) = e^{-|\tau|/\tau_0}$ ,  $T \gg \tau_0$ . Пряммыми показаны асимптоты для области больших  $\Delta$ .

На рис. 2 приведены зависимости множителя  $d(z)$  в формуле (1) как функции аргумента  $\Delta/\lambda_0$  при различных отношениях  $\tau_0/\lambda_0$ . Из сравнения рис. 1 и 2 видно, что  $l_0$  с увеличением  $\Delta$  изменяется быстрее, чем  $d(z)$ . В связи с этим при постоянных  $\mu$ ,  $\psi$ ,  $T$  дисперсия (1) с увеличением  $\Delta$  монотонно возрастает, т. е. в этом случае увеличение дискрета приводит к потери информации и уменьшению точности совмещения изображений.

Теперь рассмотрим ситуацию, когда постоянны  $\mu$ ,  $\psi$ ,  $n$ , т. е. когда с увеличением  $\Delta$  увеличивается размер изображения  $T = n\Delta$ . В этом случае дисперсию (1) удобно представить в виде

$$\frac{\sigma^2}{\lambda_0^2} = \frac{\mu}{\Psi n^2} \chi_1, \quad (5)$$

$$\text{где } \chi_1 = \left( \frac{l_0^2}{\Delta \lambda_0} \right)^2 d(z). \quad (6)$$

На рис. 3 показана зависимость множителя  $l_0^2/\Delta \lambda_0$  формуллы (6) от  $\Delta/\lambda_0$  для случая (4). Экстремальный характер этой зависимости объясняется тем фактом, что с увеличением  $\Delta$ , с одной стороны, теряется информация об изображении из-за потери высокочастотных составляющих пространственного спектра, а с другой — приобретается новая информация из-за увеличения  $T$ . Рассматриваемый множитель минимален при  $\Delta = \lambda_0$ . В силу того, что изменение  $\Delta$  преобразует и мешающее действие шумового фактора, минимум результирующей зависимости (6) дисперсии  $\sigma^2$  от  $\Delta$  может иметь место при  $\Delta \neq \lambda_0$ . Как видно из рис. 4, оптимальное значение шага дискретизации при значительном отклонении отношения  $\tau_0/\lambda_0$  от единицы уменьшается. Дело в том, что при  $\tau_0 \sim \lambda_0$  контуры изображения подвержены наибольшим пурпурным деформациям и получение информации о высокочастотных составляющих пространственного спектра изображения за счет уменьшения  $\Delta$  становится невозможным. При  $\tau_0/\lambda_0 \ll 1$  и  $\tau_0/\lambda_0 \gg 1$  высокочастотные составляющие искаются незначительно и уменьшение  $\Delta$  целесообразно.

Если в качестве критерия оптимальности шага дискретизации выбрать относительную дисперсию  $\sigma^2/T^2$ , пропорциональную дисперсии угловых и масштабных ошибок совмещения изображений, то оптимальное  $\Delta$  будет соответствовать минимуму функции

$$\chi_2 = (\lambda_0/\Delta)^2 \chi_1. \quad (7)$$

Естественно, при этом оптимальные  $\Delta$  будут значительно больше, чем в случае (6).

На рис. 5 приведены кривые, которые обращаются в минимум одновременно с определителем ковариационной матрицы ошибок совмещения изображений по двум осям декартовых координат, углу и масштабу. При этом оптимальные  $\Delta$  соответствуют минимуму функций  $\chi_1 \chi_2$  и занимают промежуточное положение между соответствующими значениями в случаях (6) и (7).

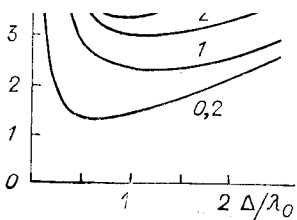


Рис. 4

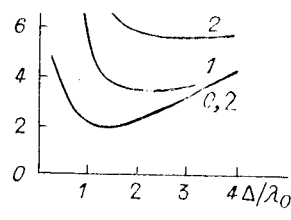


Рис. 5

**Квазиоптимальная величина дискрета.** Использование результатов по оптимальной дискретизации сопряжено с трудностью получения информации о конкретных значениях радиусов корреляции шума  $\tau_0$ . Однако на основе анализа функции (6) при  $\tau_0/\lambda_0 < 0,2$  и  $\tau_0/\lambda_0 > 5$  и рис. 4 можно сделать вывод, что при всех  $\tau_0/\lambda_0 > 0,2$  значение  $x_1$  в точке  $\Delta = \lambda_0$  мало отличается от минимального. В случае  $\tau_0 \ll \lambda_0$  функция  $x_1$  достигает своего наименьшего значения  $x_1 = 1$ . Если при этом выбрать  $\Delta = \lambda_0$ , можно по  $x_1$  проигнать вдвое. В данной ситуации целесообразна предварительная расфокусировка сравниваемых изображений фильтром низких частот.

На основе данных работы [2] можно показать, что при использовании расфокусирующего окна со стороной  $\lambda_0/2$  и прямоугольной весовой функцией новое значение отношения радиусов корреляции шума и изображения лежит в области  $\tau_0/\lambda_0 > 0,2$  и, следовательно, допускает выбор  $\Delta = \lambda_0$ , а новое отношение шум/сигнал  $\text{ПД}/\Phi$  может по сравнению с начальным уменьшиться в  $\sim 0,25 \lambda_0/\tau_0$  раз (при начальном  $\tau_0/\lambda_0 \ll 1$ ).

При минимизации функции  $x_1x_2$  в качестве квазиоптимальной величины дискрета можно принять  $\Delta = 2\lambda_0$ . Это следует из рис. 5.

Интересно отметить, что в работах [3, 4] вывод о целесообразности сглаживания процессов перед дискретизацией получен из других соображений.

## ЛИТЕРАТУРА

1. Антишин В. В., Буймов А. Г. Статистический анализ ошибок совмещения изображений по методу наименьших квадратов в условиях окрашенного шума // Автометрия.—1985.—№ 3.
2. Буймов А. Г., Буймова Н. А. Статистика расфокусированных изображений // КЭС управления.—Томск: Изд-во ТГУ, 1981.
3. Красильников Н. Н. Статистическая теория передачи изображений.—М.: Связь, 1976.
4. Рабинер Л., Гоулд Б. Теория и применение цифровой обработки сигналов.—М.: Мир, 1978.

Поступило в редакцию 24 октября 1984 г.

УДК 681.301

А. П. МАКАРОВСКИЙ, А. С. ОСТРОВСКИЙ, В. Н. ПАСЛЕН,  
В. С. СЛАВГОРОДСКИЙ

(Киев)

## ОПТИКО-ЭЛЕКТРОННАЯ СИСТЕМА ТЕХНИЧЕСКОГО ЗРЕНИЯ РОБОТОВ

Одна из важнейших задач современной робототехники — создание эффективных систем технического зрения. При ее решении однозначно важными являются как разработка технических средств, так и поиск перспективных методов обработки информации. В целом систему технического зрения роботов можно рассматривать как автоматизированное устройство распознавания и классификации изображений, удовлетворяющее ряду специфических требований, определяемых характером производственного процесса. Естественно, что для этой цели используется цифровая вычислительная техника и в первую очередь микропроцессоры [1]. Однако обработка изображений с помощью ЭВМ приводит к необходимости анализа больших